

التحليل المعدني للكتل المتشققة لترت من وسط العراق

أ.د سلمان خلف عيسى
كلية الزراعة-جامعة بغداد

أ.م.د رائد شعلان جار الله*
كلية الزراعة-جامعة القادسية

E.mail: d.ra_68@yahoo.com

تاريخ قبول النشر : 2016/6/9

تاريخ استلام البحث : 2016/5/16

الخلاصة

تم اختيار سبع ترب تمتاز بظاهرة التشقق هي (عفك Vertic-Torrifluent ، الديوانية Typic-Torrifluent ، الطليعة Typic-Torrifluent ، بابل Vertic-Torrifluent ، كلية الزراعة Typic-Torrifluent ، ناحية الوحدة Vertic-Torrifluent ومشروع الرائد Typic-Torrifluent) ، بهدف دراسة بعض الصفات المعدنية للجزء الهش والصلب أظهرت النتائج الاتي :

- أظهرت الحيويد السينية بان المعادن الطينية ترتبت حسب التسلسل الاتي :
السابكيات < الالاييت < الكلورايت < الكاؤولينايت
- في جميع الترب ما عدا تربتي عفك والديوانية والتي اخذت الترتيب التالي :
السبكيات < الكلورايت < الالاييت < الكاؤولينايت .
- تواجد معدن الكلورايت من نوع الكلورايت المتمد في جميع الترب يسهم في زيادة لدانة هذه الترب وزيادة تمددها وتقلصها عند تعاقب الترطيب والتجفيف .
- انخفاض النسب SM /Ch و SM /IL و SM /R₂O₃ ضمن التركيب المعدني للجزء الصلب مقارنة بالجزء الهش ولجميع ترب الدراسة وان ذلك يعود الى اختلاف نسب تلك المعادن ضمن مفصول الطين (الناعم والخشن) .
- ان زيادة صلابة الجزء العلوي على حساب الجزء السفلي من الكتل المتشققة يعود الى زيادة محتواها من معدن الالاييت.
- ارتفاع قيم اكاسيد الحديد الحرة الكلية والمتبلورة ضمن الجزء الصلب من الكتل المتشققة ولجميع الترب المدروسة.

الكلمات المفتاحية : التحليل المعدني ، الكتل المتشققة ، التشققات الطينية ، السمكيات ، الالاييت ، اكاسيد الحديد الحرة ، وسط العراق.

المقدمة

معادن الطين
أشار التميمي والرسلائي، 1999 إلى أن الترب الحاوية على معادن طين من نوع 1 : 2 المتمددة تكون قشرة سطحية قوية على سطح التربة، ومنه يظهر أن لنوع المعدن الطيني ونسبته أهمية في تكون الطبقة السطحية المتصلبة وقوتها، لا سيما عند سيادة هذا النوع من المعدن المتمد.

بينت FAO,1995 أن لبعض الأطيان القابلة للتمدد القدرة على مسك ماء حجمه عدة مرات قدر حجم الطين نفسه، وان الأغشية المائية بين طبقات المعادن وبين دقائق الطين تكسب التربة خاصية التمدد والتقلص ولدانتها وتماسكها ، وان السطوح الداخلية والخارجية تكسب معدن المونتموريلونايت مساحة سطحية عالية وهي

بينت FAO,1995 أن التربة عندما تجف فان الشقوق المتشكلة تتسع إلى قاعدة المنطقة الجافة، وان كثافة التشقق تؤثر كثيراً في بزل الترب الطينية، إذ تغلق الشقوق الطينية مرة أخرى عندما يعاد ترطيب التربة، ففي حالة الترطيب القوي فان التربة ممكن أن تكون عملياً غير منفذة للماء. وإن التمدد يمكن أن يكون تاماً ويترك فجوات في التركيب ذات قابلية على ايصالية الجريان كما وأن تمدد الترب الطينية يتأثر بالعوامل الآتية:-

- النسبة المئوية للمحتوى الطيني ● نوع المعدن الطيني ● التاريخ السابق للجهود المطبقة ● طبيعة الكاتيونات المتمزة ● المحتوى الرطوبي البدائي.

علاقة معادن الطين والمفصولات في تكوين القشرة السطحية

التشقق وصنفت حسب نظام التصنيف الأمريكي، 1975 وكما يأتي:

● تربة مشروع الرائد: تربة غير مستغلة Typic-Torrifluent.

● تربة حقول كلية الزراعة/جامعة بغداد: تربة مستغلة بزراعة الخضر Typic-Torrifluent.

● تربة ناحية الوحدة: تربة غير مستغلة Vertic-Torrifluent.

● تربة بابل: تربة مستغلة بزراعة المحاصيل (الحنطة) Vertic-Torrifluent.

● تربة ناحية الطليعة: تربة مستغلة بزراعة المحاصيل (الشعير) Typic-Torrifluent.

● تربة مركز الديوانية: تربة بساتين Typic-Torrifluent.

● تربة عفك: تربة مستغلة بزراعة المحاصيل (الشعير) Vertic-Torrifluent.

جرى استحصال عينات الترب المتكتلة (الجزء المتصلب السطحي، والجزء الهش تحت السطحي) ولأعماق مختلفة اعتماداً على سمك الكتل الترابية.

قسمت كل عينة تربة إلى جزئين: تربة الجزء الصلب (السطحية)، تربة الجزء الهش (تحت السطحية)، وحفظت العينات في أكياس من البولي أثيلين.

الإجراءات المختبرية

جرى استحصال أنموذجات التربة، ثم نقلت إلى المختبر، إذ جففت هوائياً، وفككت مدراتها باستخدام مطرقة خشبية بغية المحافظة على مورفولوجية المعادن فيها، ومررت من خلال منخل قطر فتحاته 2 ملم، ثم حفظت في علب بلاستيكية تهيئة لإجراء التحاليل المعدنية.

جرى دراسة الصفات المعدنية لترب الدراسة للجزئين الصلب والهش وعلى وفق الخطوات الآتية:

المعاملات الأولية Pretreatment

وتتضمن إزالة المواد الرابطة الآتية:

- الأملاح الذائبة Soluble salts: أزيلت

بالماء المقطر وفقاً لطريقة Kunze, 1962.

- معادن الكربونات Carbonates

minerals: بوساطة خلات الصوديوم

التي تسبب التمدد والتقلص وتكسبه المطاطية العالية.

وذكر حسن، 1999 أن امتصاص الماء على هيئة بخار من قبل المعادن الطينية يزداد طبقاً للتسلسل الآتي: المونتموريلونايت < البيدلايت < الالاييت < الكاولينايت. وهذا التسلسل يتبع ارتباط جزئيات الماء بالقرب من سطوحها، في حين تمدد المعادن يتبع التسلسل الآتي: الفيرميكيولايت < المونتموريلونايت < الالاييت < الكاولينايت.

فيما ذكر Raats, 1984 أن التشققات تنشأ في التربة عندما تكون طاقة الشد بواسطة التقلص والتمدد أو الحراثة كافية لتحطيم الأواصر داخل السدقات antiparticle كما بين Chertkov, 2000 أن الجفاف وتكرار التقلص في سطح التربة يسبب بناء إجهادات كافية لتنتج تشققات.

أما التمييم والرسلائي، 1999 فقد وجد أن لنوع المعدن الطيني تأثيراً أكبر في مقاومة التربة للاختراق من كمية الطين نفسها، إذ أعطت التربة ذات المحتوى الطيني 40% معامل كسر عالي (502.5 كيلو باسكال)، مقارنة بتربة أخرى ذات محتوى طيني 44.5% ومعامل كسر (234.4 كيلو باسكال)، وإن وجود المعدن الطيني نوع 1:2 المتمدد يزيد من قوة القشرة السطحية، وأن علاقة الرمل بمعامل الكسر كانت عكسية. كما وجد الذبحاني (2000) وجود ارتباط عالي المعنوية بين الكثافة الظاهرية وفترات الترطيب، إذ ارتفعت قيم الكثافة الظاهرية بزيادة فترات الترطيب ولجميع الترب وبمعنوية عالية.

وعليه هدف البحث الى:

1- دراسة التحليل المعدني للكتل المتشقة (الصلب والهش) وتشخيص المعادن الطينية السائدة في هذه الترب ونسبتها المئوية.

2- دراسة نسبة معدن السمكتايت الى المعادن المختلفة والاكاسيد الحرة في هذه الترب لبيان مدى تأثير المكون المعدني لمفصول الطين في ميكانيكية تكون التشققات.

المواد وطرائق العمل

الإجراءات الميدانية

استطلعت ترب الدراسة ميدانياً، واختيرت سبع ترب تمتاز بنسجة ثقيلة، وتتصف بظاهرة

- فحص الشريحة المشبعة بالمغنيسيوم بعد تجفيفها هوائياً في درجة حرارة 25 م.
 - فحص الشريحة المشبعة بالمغنيسيوم وكحول الأيثيلين كلايكول.
 - فحص الشريحة المشبعة بالبوتاسيوم والمجففة هوائياً في درجة حرارة 25 م.
 - فحص الشريحة المشبعة بالبوتاسيوم والمجففة هوائياً بعد تسخينها إلى درجة حرارة 550 م بواسطة فرن الحرق Muffel furnace.
- حساب النسبة المئوية لمعادن الطين
Calculation of minerals percentage
حسبت باستخدام قياس المساحة تحت الحيوذ (Area under curve) وبطريقة كثافة الحيوذ السينية معتمدين على سمك الطبقة المعدنية d-spacing.
- أكاسيد الحديد الحرة: قدرت وفقاً للطريقة الموصوفة في (Jackson 1979).

النتائج والمناقشة

التحليل المعدني

توضح الأشكال (1-9) منحنيات الأشعة السينية لمفصول الطين، إذ يظهر من خلالها سيادة لمعدن السمكتايت يليه معدن الألايت ثم معدن الكلورايت والكاؤلينايت في ترب الدراسة جميعها عدا تربتي عفك والديوانية إذ تقدم الكلورايت على الألايت فيهما (جدول 1). فالسمكتايت أمكن تشخيصه من خلال الحيوذ (14.7 و 17.1 إنكستروم) في حالة العينات المشبعة بالمغنيسيوم والجافة هوائياً والأثيلين كلايكول على التوالي. وترجع سيادة هذا المعدن في الترب العراقية بصورة عامة ومنها ترب الدراسة إلى أن الظروف الكيميائية السائدة التي تتميز بتفاعلها القاعدي مع سيادة تامة لأيونات الكالسيوم والمغنيسيوم (Jackson, 1957) وكذلك ترجع بالأساس إلى طبيعة مادة الأصل وعمرها، فضلاً عن التعرية والتجوية التي حصلت في أثناء نقل مواد هذه الترب وإعادة ترسيبها، أو قد يكون مصدرها من تجوية المعادن الفيرومغنيسية الموجودة في الصخور النارية والقاعدية.

- المحمضة (NaOAC) بحامض الخليك الثلجي (HOAC) إلى رقم التفاعل (pH = 5) وفقاً لطريقة Kunze, 1962.
- المادة العضوية Organic matter: بواسطة هابوكلورات الصوديوم (NaOCl) (12% بعد تعديل رقم تفاعلها بحامض الهيدروكلوريك إلى (pH = 9.5) طبقاً لما جاء في Anderson, 1963.
- أكاسيد الحديد الحرة Free Iron Oxides: بطريقة (سترات-بيكاربونات-دايثاينيت) الصوديوم (C.B.D)، وفقاً لطريقة Mehra and Jackson, 1960.

الفصل والتجزئة Fractionation and Separation

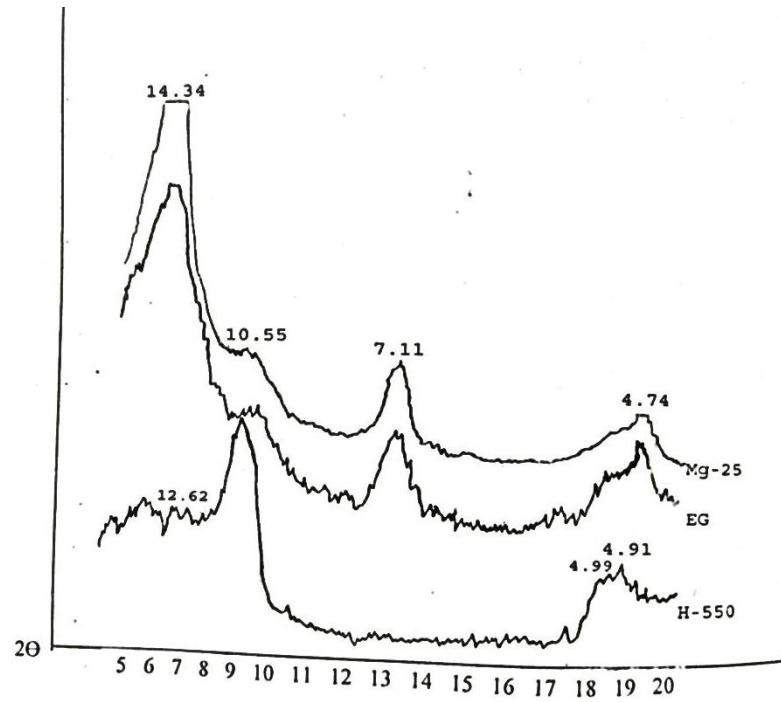
جرى فصل دقائق التربة الخشنة (< 50 مايكروميتر) بطريقة الغزيلة الرطبة (Wet sieving) بمنخل قطر فتحاته (50 مايكروميتر)، بعدها فصل الطين (> 2 مايكروميتر) وفقاً لقانون stoke وبمراعاة ظروف الفصل (درجة الحرارة والزمن).

فحص منحنيات الحيوذ السينية X - ray Analysis

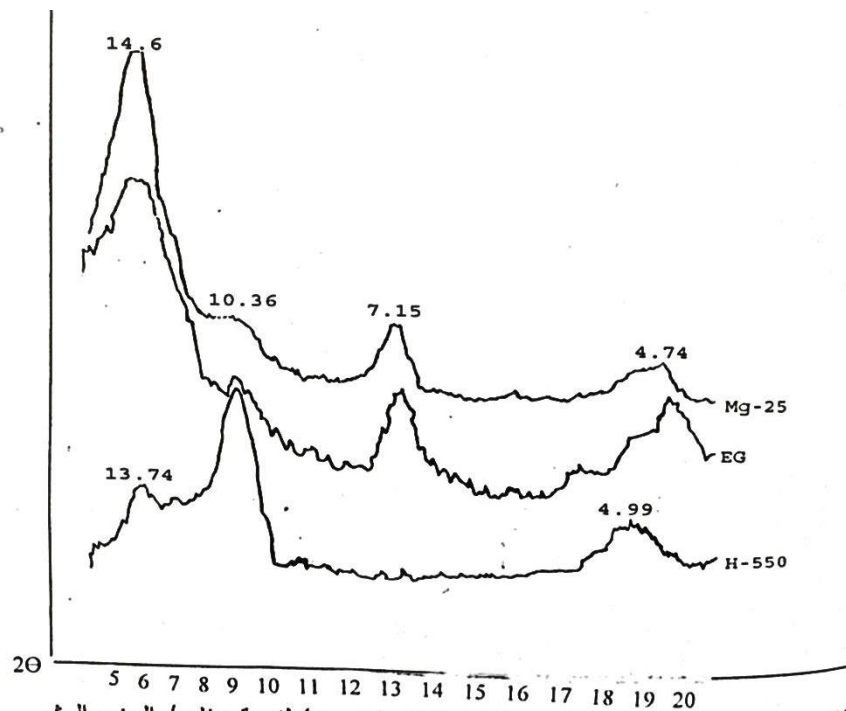
فحصت نماذج الطين باستخدام جهاز X - ray diffraction-Phillips بعد أن حضرت النماذج طبقاً إلى Jackson, 1979 وكما يأتي:

- التشبيح بالمغنيسيوم: باستخدام كلوريد وخلات المغنيسيوم.
- التشبيح بالبوتاسيوم: باستخدام كلوريد وخلات البوتاسيوم.
- الغسل لإزالة المغنيسيوم والبوتاسيوم الذائبين: باستخدام الماء المقطر ثم استخدام (1:1) خليط الماء المقطر والكحول الأيثلي ثم الغسل بالكحول الأيثلي فقط.
- تحضير شرائح الفحص الزجاجية ذات الأبعاد (40 x 25 x 1) ملم.
- الفحص بالأشعة السينية الحادة: إذ فحصت الشرائح الزجاجية المغطاة بمفصول الطين بجهاز الأشعة السينية مستخدمين نظام أنبوب النحاس Cu-α وبقدرة 40 كيلو فولت.

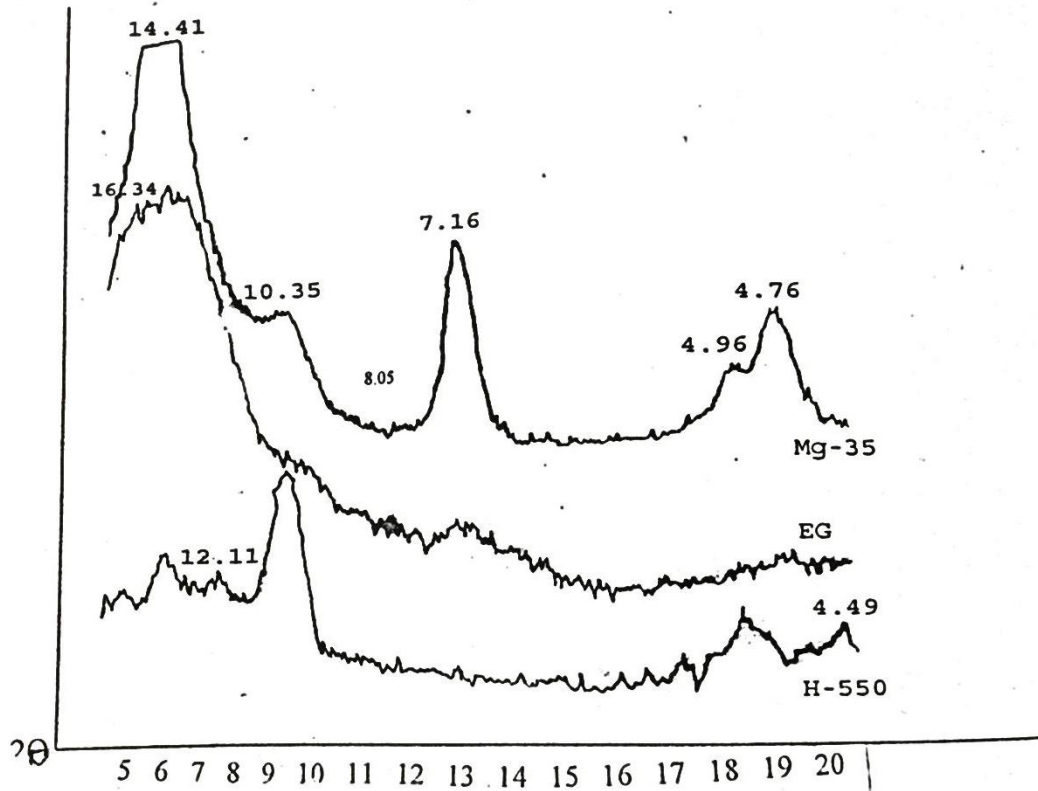
وتم الفحص على وفق الترتيب الآتي:



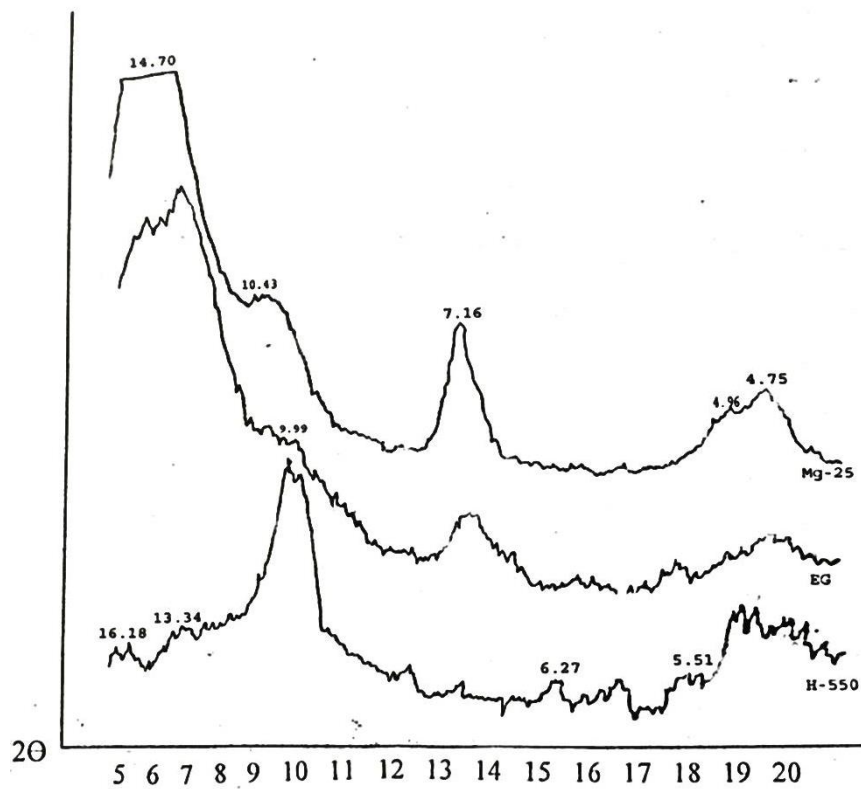
شكل (1) : حيود الأشعة السينية لمفصول الطين (>2 مايكرون) لتربة عفاك / الجزء الصلب



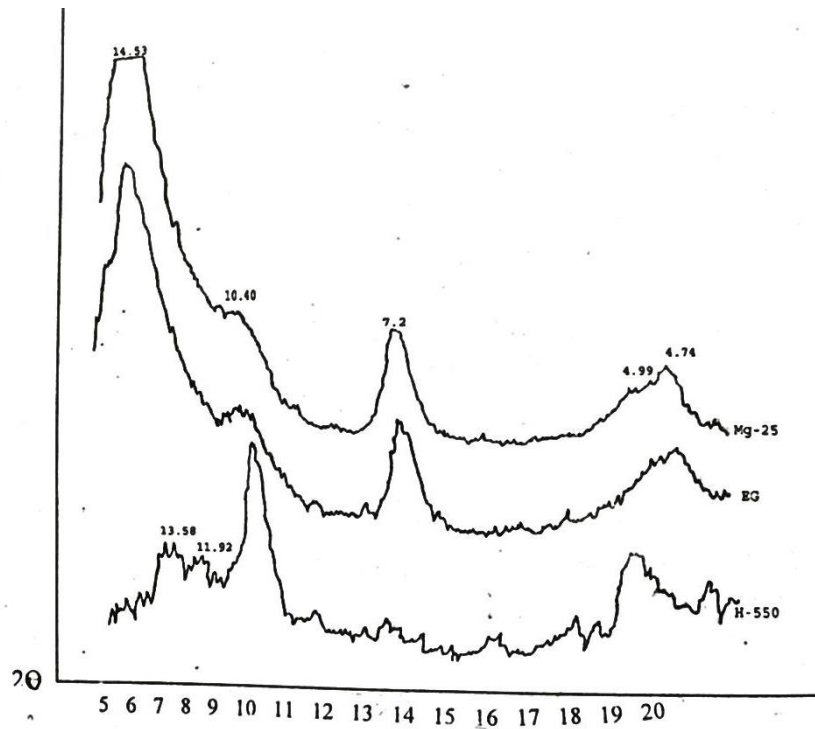
شكل (2) : حيود الأشعة السينية لمفصول الطين (>2 مايكرون) لتربة عفاك / الجزء الهش



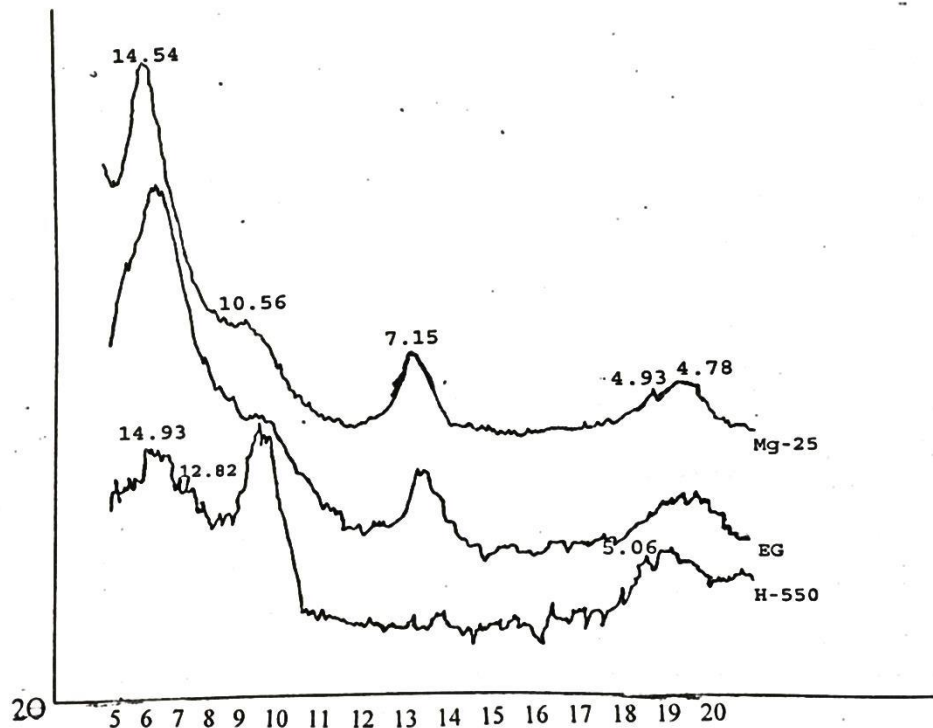
شكل (3) : حيود الأشعة السينية لمفصول الطين (>2 مايكرون) لتربة الديوانية / الجزء الهش



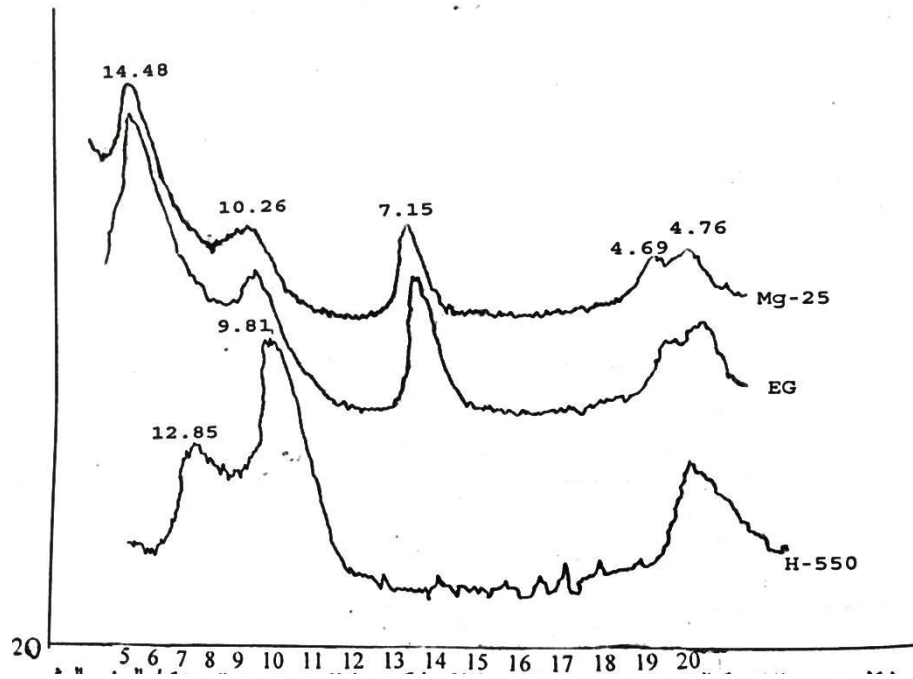
شكل (4) : حيود الأشعة السينية لمفصول الطين (>2 مايكرون) لتربة الطليعة / الجزء الهش



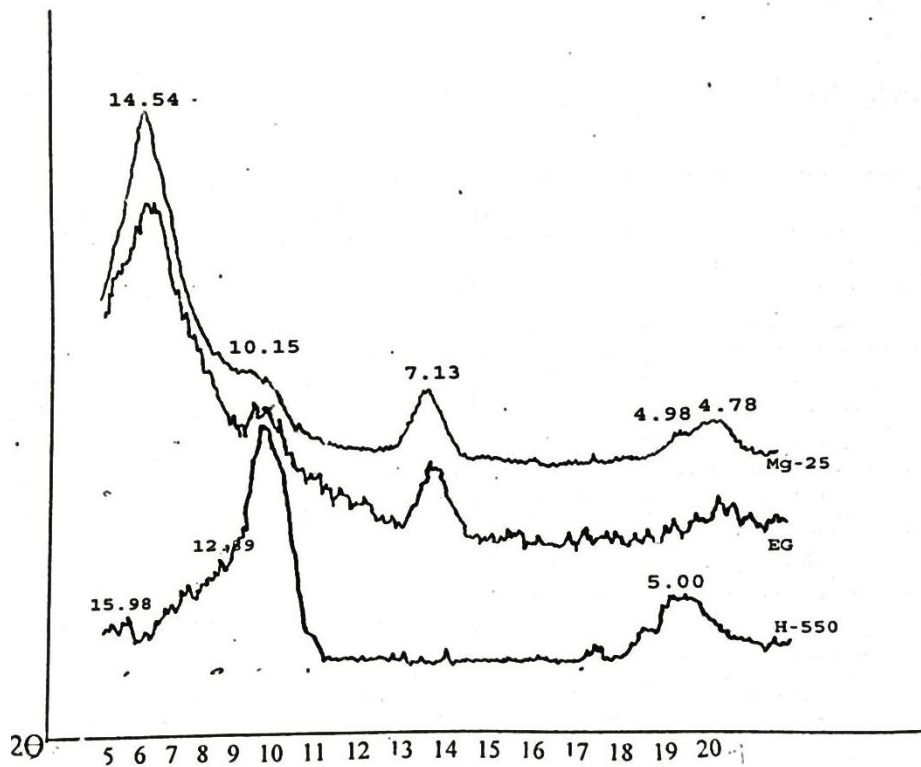
شكل (5) حيود الأشعة السينية لمفصول الطين (> 2 مايكرون) لتربة بابل/ الجزء الهش



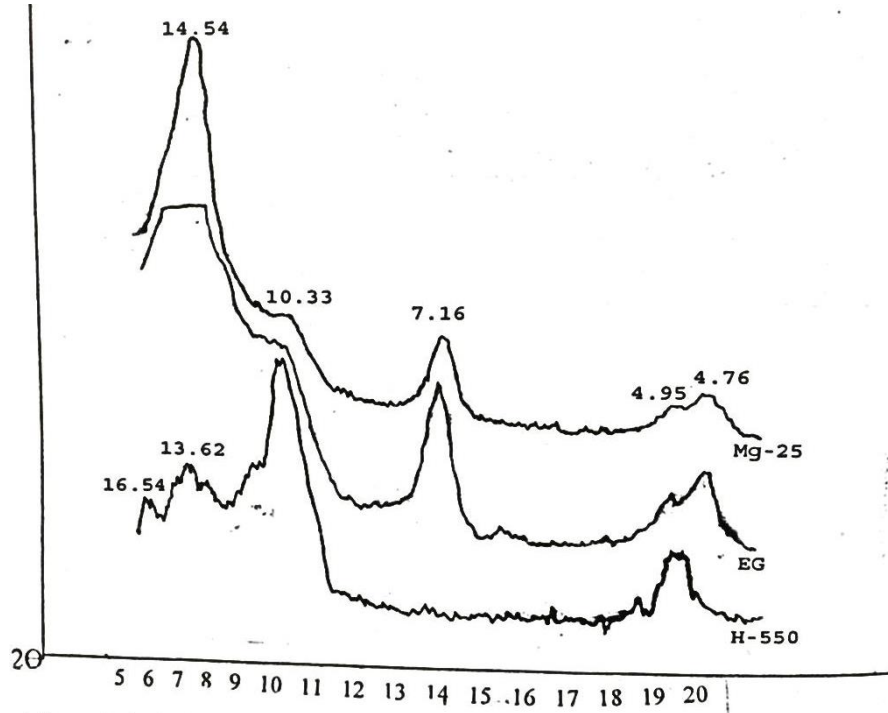
شكل (6) : حيود الأشعة السينية لمفصول الطين (> 2 مايكرون) لتربة كلية الزراعة / الجزء الهش



شكل (7) : حيود الأشعة السينية لمفصول الطين (>2 مايكرون) لتربة ناحية الوحدة / الجزء الهش



شكل (8): حيود الأشعة السينية لمفصول الطين (>2 مايكرون) لتربة مشروع الرائد/الجزء الصلب



شكل (9): حيود الاشعة السينية لمفصول الطين (>2 مايكرون) لتربة مشروع الرائد/الجزء الهش

جدول (1): النسب المئوية لمعادن الطين (<2 مايكرون لترب الدراسة).

النسب المئوية لمعادن الطين Clay minerals percent				ترب الدراسة
Ka	Ch	IL	SM	
1.79	18.79	18.70	34.42	عفاك - صلبة
1.24	13.40	16.57	37.91	عفاك - هشة
2.41	21.48	18.39	30.51	الديوانية - صلبة
1.15	17.51	15.39	33.66	الديوانية - هشة
1.66	18.55	20.35	30.94	الطليعة - صلبة
1.20	14.31	16.20	35.41	الطليعة - هشة
1.83	19.55	20.83	33.46	بابل - صلبة
1.60	16.35	17.70	36.72	بابل - هشة
2.89	18.90	21.19	32.15	كلية الزراعة - صلبة
1.13	15.36	18.55	36.65	كلية الزراعة - هشة
3.70	22.54	27.30	22.12	ناحية الوحدة - صلبة
1.88	16.18	19.50	27.30	ناحية الوحدة - هشة
3.47	19.49	24.80	36.86	مشروع الرائد - صلبة
1.82	15.59	19.35	39.69	مشروع الرائد - هشة

SM : Smectite

IL : Illite

Ch : Chlorite

Ka : Kaolinite

المنتشرة في شمال العراق التي تمثل المناطق العليا من مجرى نهر دجلة والفرات Kadhim,1976.

الدراسة جميعها، وهذا من منطلق دراسة مدى تأثير المكون المعدني لمفصول الطين في ميكانيكية تكون التشققات ومورفولوجيتها في تلك الترب، إذ وضعت نسب معدن السمكنايت الذي يمتاز باللدانة والقابلية العالية للاحتفاظ بالماء في البسط بينما المعادن ذات اللدانة والقابلية المنخفضة لحفظ الماء (الكلورايت، الألايت) والأكاسيد الحرة في المقام.

أظهرت نتائج الجدول (2) انخفاض النسب SM/Ch ، SM/IL ، SM/R_2O_3 ضمن المكون المعدني للجزء الصلب مقارنة بمكوناتها المعدني ضمن الجزء الهش ولترب الدراسة جميعها وأن سبب هذا الانخفاض يمكن أن يعود إلى اختلاف نسب تلك المعادن ضمن دقائق مفصول الطين (الناعم والخشن). إذ بين Fanning and Jackson, 1965 ; Alexiades et al., 1973 أن دقائق معادن الألايت، الكلورايت، والكاؤلينايت تتركز ضمن مفصول الطين الخشن ($2 - 0.2 \mu m$)، في حين يتركز كل من معدني المونتموريلونايت والفرمكيولايت ضمن مفصول الطين الناعم ($0.08 \mu m$) ونتيجة لاستغلال الترب قيد الدراسة زراعياً، فإن عملية الري المستمر لتلك الترب ستؤدي إلى انتقال دقائق مفصول الطين الناعم إلى أسفل من خلال الشقوق وبكميات وسرع متفاوتة، ناقلاً معه ما يحويه من مكونات معدنية مما يجعل بقاء دقائق الطين الخشن عند السطح، ويعزى هذا التباين في حركة دقائق مفصول الطين إلى عاملين رئيسيين:

الأول: كون نسجة ترب الدراسة طينية مزيجة إلى طينية ثقيلة جار الله، (2007) وذات نفاذية منخفضة تعيق من حركة دقائق مفصول الطين الخشن إلى أسفل.

وثانياً: ضعف عمليات الغسيل كونها تعتمد على فترات الري، مع انخفاض عالٍ لكمية الأمطار الساقطة في مناطق ترب الدراسة. (جار الله، 2007، و جار الله وسلمان، 2016).

ونتيجة لهذا التباين في حركة مفصولي الطين الناعم والخشن في تلك الترب، التي انعكست على حركة المكونات المعدنية في دقائق مفصول الطين، لذا يتوقع أن تتركز معادن الألايت، الكلورايت، والكاؤلينايت ضمن الجزء الصلب (العلوي)، في حين يتركز معدن السمكنايت ضمن الجزء الهش (السفلي) من

ويعد معدن الألايت من المعادن السائدة أيضاً في مفصول الطين وقد أمكن تشخيصه من خلال الحيويد الأول والثاني (10.25 و 4.99 إنكستروم) على التوالي، والذي يبقى ثابتاً خلال المعاملات جميعها، وكذلك فعدم ظهور الحيويد (6.4 إنكستروم) والممثل للحيويد الثاني لمعدن الباليكورسكايت مع اتساع شدة الحيويد (10.25 إنكستروم) عند معاملة البوتاسيوم المسخنة إلى 550 درجة مئوية، يؤيد أن الحيويد (10.25 إنكستروم) هو الحيويد الأول لمعدن الألايت وليس للباليكورسكايت في هذه الترب.

أما معدن الكلورايت فقد تم تشخيصه من خلال الحيويد (14.7، 7.2، 4.7 إنكستروم) وفي المعاملات جميعها، والذي يبقى ثابتاً حتى عند التسخين إلى 550 درجة مئوية، إذ حصل انخفاض في شدة الحيويد بعد التسخين إلى هذه الدرجة مع اتساع قمته (الأشكال 1-9) مما يدل على أن معدن الكلورايت في مفصول الطين لهذه الترب هو من نوع الكلورايت المتمدد غير المقاوم للحرارة (Swelling soil Chlorite) الذي يمتاز بدرجة تبلور ضعيفة، وإن اختلاف شدة الحيويد لمعدن الكلورايت في ترب الدراسة قد يرجع بالدرجة الأساس إلى محتوى الترب منه من جهة ومحتواها من معدن الكاؤلينايت من جهة أخرى، إذ أن الأخير يعطي قيمة عند القيم الخاصة بالكلورايت نفسها، وأن الكلورايت يظهر عند الحيويد أعلاه في المعاملات جميعها والذي يبقى ثابتاً عند التسخين إلى 550 درجة مئوية. وإن سيادة الكلورايت المتمدد غير المقاوم للحرارة والذي يمتاز بكونه ضعيف التبلور سوف يسهم في زيادة لدانة هذه الترب وبالتالي زيادة تمددها وتقلصها عند تعاقب عمليتي الترطيب والتجفيف للتربة.

أما معدن الكاؤلينايت فقد تواجد بكميات قليلة في مفصول الطين (للسبب المذكورة أعلاه) وقد تم تشخيصه من خلال الحيويد (7.2 إنكستروم) في حالة العينات المشبعة بالمغنيسيوم والجافة هوائياً والأثيلين كلايكل على التوالي. ويختلفي هذا الحيويد في حالة التشبيح بالبوتاسيوم مع التسخين إلى 550 درجة مئوية نتيجة لتحطمه (Jackson, 1957).

لقد تم حساب النسب المئوية للمعادن الطينية (الجدول 2) بالنسبة إلى بعضها البعض وللجزئين الصلب والهش للكتل المتشققة ولترب

والذي أطلق عليه Wells *et al.*, 2003 (Non-uniform profile of water content) الأمر الذي يؤدي إلى زيادة تمدد الأجزاء السفلية من الكتل المتشققة مقارنة بالأجزاء العلوية، مما يتسبب باختلاف في معاملات التمدد والتقلص للمعادن في كلا الجزأين، وإن عدم التجانس في عمليتي التمدد والتقلص سيقود إلى انفصال الكتل المتشققة إلى جزئين علوي (صلب) وسفلي (هش) عند الحد الفاصل للتغير الحاد في محتوى مفصول الطين الناعم (Lower boundary of intensive cracking layer).

الكتل المتشققة. كما وأن سرعة حركة دقائق مفصول الطين الناعم والعمق الذي وصله تتفاوت هي الأخرى بين ترب الدراسة اعتماداً على نسجة التربة. وأن هذا التباين في حركة دقائق مفصول الطين وبما يحويه من مكونات معدنية سينعكس على خصائص ومورفولوجية الكتل المتشققة في ترب الدراسة. إذ أن زيادة محتوى معدن السمكتايت في الجزء السفلي من الكتل المتشققة، سيؤدي إلى زيادة اللدانة فيه، ترافقه زيادة في المحتوى الرطوبي مقارنة بالجزء الصلب (العلوي) المتعرض إلى عملية التبخر باستمرار، والذي سيقود إلى عدم تجانس المحتوى الرطوبي في الجزأين الصلب والهش،

جدول (2): نسب معدن السمكتايت إلى المعادن المختلفة والأكاسيد الحرة لترب الدراسة.

ترب الدراسة	SM IL	SM Ch	SM R ₂ O ₃
عفك - صلبة	1.84	1.83	3.14
عفك - هشة	2.29	2.83	3.98
الديوانية - صلبة	1.66	1.42	4.27
الديوانية - هشة	2.19	1.92	6.15
الطليعة - صلبة	1.52	1.67	4.33
الطليعة - هشة	2.19	2.48	7.44
بابل - صلبة	1.61	1.71	2.94
بابل - هشة	2.08	2.25	3.65
كلية الزراعة - صلبة	1.52	1.70	4.29
كلية الزراعة - هشة	1.98	2.39	7.60
ناحية الوحدة - صلبة	0.81	0.98	3.18
ناحية الوحدة - هشة	1.40	1.69	3.94
مشروع الرائد - صلبة	1.49	1.89	7.74
مشروع الرائد - هشة	2.05	2.55	15.27

SM : Smectite

IL : Illite

Ch : Chlorite

R₂O₃ : Free Iron Oxides

فيه، إذ يعمل الأخير كمادة رابطة لمكونات الطبقة الصلبة، لما يتمتع به من كثافة ظاهرية عالية وتكوين بناء غير مرغوب فيه وكذلك توزيع الطين والذي يربط دقائق الرمل والغرين مع بعضها، في حين بين Yassoglou and Whiteside, 1960 أن معدن الألايت يشكل معظم طين الطبقة الصلبة من الكتل المتشققة.

إن زيادة صلابة الجزء العلوي على حساب الجزء السفلي للكتل المتشققة في ترب الدراسة يمكن أن يعود إلى زيادة محتواه من معدن الألايت (الجدول 1) الذي يسهم بشكل كبير في زيادة صلابة ذلك الجزء. إذ بين Knox, 1957 أن زيادة صلابة الجزء العلوي من كتل الترب المتشققة يعود إلى زيادة محتوى معدن الألايت

مجاميعها وأن صلابة الأجزاء العلوية من القشرة المتكونة عند سطوح بعض الترب تعود إلى زيادة محتواها من أكاسيد الحديد الحرة. لقد أظهرت نتائج جار الله ، 2007 أن قيم أكاسيد الحديد الحرة الكلية والمتبلورة قد ارتفعت ضمن الجزء الصلب من الكتل المتشقة ولنماذج الترب جميعها. كما تفوقت قيم أكاسيد الحديد الحرة المتبلورة على قيم أكاسيد الحديد غير المتبلورة، وخصوصاً ضمن الجزء الصلب من الكتل المتشقة، وهو أمر طبيعي يحصل نتيجة لتعرض الأجزاء العلوية من سطح التربة إلى عمليات تبخر الماء والجفاف أكثر من الأجزاء الأخرى من جسم التربة مما يسمح بتحول الأكاسيد غير المتبلورة إلى حالتها المتبلورة تدريجياً مع الوقت. وأن ارتفاع قيم الأكاسيد ضمن الجزء الصلب من الكتل المتشقة، يعد احد الأسباب في منع تمدد هيكل التربة ومن ثم زيادة صلابتها (التميمي، 1990) وهذه النتائج تتفق مع 1999 ; Muggler et al. التي أظهرت أن سبب تصلب الجزء العلوي من الكتل المتشقة يعود إلى زيادة محتواه من أكاسيد الحديد والألمنيوم الحرة.

المصادر

التميمي، ضياء عبد محمد وابتسام عبد الزهرة الرسلاني. 1999. تأثير بعض الخواص الفيزيائية لترب جنوب العراق في تكوين القشرة السطحية. مجلة العلوم الزراعية العراقية. المجلد:30. العدد الأول.

التميمي، مهدي إبراهيم. 1990. أساسيات فيزياء التربة. ترجمة. وزارة التعليم العالي والبحث العلمي. جامعة البصرة.

كلية الزراعة. مطابع دار الحكمة.

الجيلاني، عبد الجواد وعبد الرحمن غيبة. 1998. إضافة المحسنات العضوية وغير العضوية في الأراضي المروية للتغلب على ظاهرة تصلب القشرة الأرضية. المركز العربي لدراسات المناطق الجافة والأراضي القاحلة. وزارة الزراعة والثروة السمكية. سلطنة عمان. مسقط.

جار الله ، رائد شعلان. 2007. تأثير إضافة كوالح الذرة الصفراء والجبس في حالة تشقق بعض ترب السهل الرسوبي .

كما بينت النتائج التي حصل عليها جار الله ، 2007 أن سمك الجزء الصلب كان يتناسب مع عمق التراكم، أي مع سرعة حركة دقائق مفصول الطين الناعم والعمق الذي تصل إليه، والذي يكون نتاجاً لكمية مياه الري المضافة خلال الموسم الزراعي، لذلك امتازت الترب المستغلة بزراعة المحاصيل وذات الموسم الزراعي الطويل (بابل، عفاك، والطيبة) بأعلى سمك للجزء الصلب (العلوي) مقارنة ببقية الترب، في حين سجلت الترب غير المستغلة زراعياً (الوحدة، والرائد) أقل سمك للجزء الصلب مما يعكس مدى تأثير كمية مياه الري المضافة في حركة دقائق مفصول الطين الناعم. وهذه النتائج تتفق مع كل من Robertson et al. (1976) والجيلاني وغيبة، (1998) إذ بينوا أن تكرار عملية الري وطول موسم النمو تؤديان إلى زيادة سمك الجزء الصلب من الكتل المتشقة.

كذلك ومن خلال النتائج التي حصلت عليها الدراسة الحالية، فإننا نعتقد أن التباين في عرض التشققات وعمقها في ترب الدراسة يتأثر هو الآخر بتباين نسب المعادن الطينية وقابليتها المتفاوتة في اللدانة والتمدد والتقلص في كلا الجزأين الصلب (العلوي) والهش (السفلي) من الكتل المتشقة، مما يتسبب بعدم تجانس عمليتي الإنتفاخ والانكماش Swelling and Shrinkage على المستويين العمودي والأفقي ضمن تلك الكتل، الأمر الذي يؤدي إلى تباين في عرض وعمق الشقوق المتكونة. وهذه النتائج تتفق مع ما وجدته كل من (White, 2001 ; Taboada, 2003 ; Horton, 2001) ، إذ بينوا أن تباين المحتوى المعدني من المعادن المتمددة ضمن الكتل المتشقة سيقود إلى التباين في عمق وعرض التشققات.

لقد حاولنا ربط الاختلاف في صلابة الجزأين العلوي والسفلي من الكتل المتشقة مع توزيع صور أكاسيد الحديد في كلا الجزأين، على اعتبار أن أكاسيد الحديد الحرة تعد إحدى العوامل المؤثرة في تغيير صلابة أجزاء الكتل المتشقة، إذ بين كل من Knox, 1957 ; FAO, Emerson and Greenland, 1990 ; 1995 أن أكاسيد الحديد الحرة تلعب دوراً مهماً في ربط دقائق التربة ومن ثم زيادة ثباتية

- university. Statement of critical or state water problems.
- Jackson, M.L. 1979. Soil chemical analysis Advanced course (2nd ed.) published by the auther, Madison, WI. USA.
- Jackson, M.L. 1957. frequency distribution of clay minerals in major great soil groups as related to the factors of soil formation. 6th. Nat. Clay and Clay minerals. 6: 133-143.
- Kadhim, H.A. 1976. Comparative mineralogical study of some alluvial and brown soils in Iraq. M.Sc. Thesis. Univ. of Baghdad.
- Knox, E.G. 1957. Fragipan horizons in New York soils. III. The basis of rigidity. Soil Sci. Soc. Amer. Proc. 21: 326-330.
- Kunze, G.W. 1962. Pretreatment for mineralogical analysis. Reprint of section prepared for methods monograph published by the soil science society of America, 13p.
- Mehra, O.P. and Jackson, M.L. 1960. Iron oxide removal from soils and clay by dithionite-citrate system, buffered with sodium bicarbonate procceding of 7th national conference on clays and clay minerals., p. 317-327.
- Muggler, C.C. ; Van Griethuysen, C. ; Buurman, P. ; Pape. Th. 1999. Aggregation, organic matter and Iron oxide morphology in oxisols from minas gerais, Brazil. Soil Sci. 164: 759-770.
- أطروحة دكتوراه . كلية الزراعة . جامعة بغداد . العراق .
 جار الله ، رائد شعلان وسلمان خلف عيسى .
 2016 . مواصفات التشققات الطينية في
 بعض ترب السهل الرسوبي / العراق .
 مجلة القادسية للعلوم الزراعية . المجلد
 السادس ، العدد الأول .
 حسن، هشام محمود.1999. فيزياء التربة.
 وزارة التعليم العالي والبحث العلمي.
 جامعة الموصل. الطبعة الثانية. دار
 الكتب للطباعة والنشر.
- Alexiades, C.A. ; N.A. Polyzopoulos ; N.A. Koroxenides ; and G.S. Axaris. 1973. High trioctahedral vermiculite content in the sand, silt, and clay fractions of a gray brown podzolic soil in Greece. Soil Sci. 116: 363-375.
- Anderson, J.U. 1963. An improved pretreatment for mineralogical analysis of samples. Containing organic matter, clays, clay Min. 10: 380-388.
- Cherkov, V.Y. 2000. Using surface crack spacing to predict crack network geometry in swelling soils. Soil Sci. Soc. Am. J. 64: 1918-1921.
- Fanning, D.S. and M.L. Jackson. 1965. Clay mineral weathering in southern Wisconsin soils developed in loess and in shale-derived till. Clays and clay miner. 13: 175-191.
- FAO. 1995. prospects for the drainage of clay soils. FAO irrigation and drainage. Paper. 51. Rycroft, Amer.
- Horton, R. 2001. Field assessment of ground water quality beneath cracking soil with surface applied hogmanure. Iowa state

- soils. Lecture given at the college on soil physics Trieste, 3-21 March 2003. LNSO 418038. Mtaboada@agro.uba.ar p: 471-483.
- Wells, R.R. ; D.A. Dicarlo ; T.S. Steenhuis ; J.Y. Parlange ; M.J.M. Romkens and S.N. Prasad. 2003. Infiltration and surface Geometry of a swelling soil following successive simulated rains forms. Soil Sci. Soc. Am. J. 67: 1344-1351.
- White, E.M. 2001. Comments on using surface crack spacing to predict crack network geometry in swelling soils. Soil. Sci. Soc. Am. J. 65: 1573-1574.
- Yassoglou, N.J. and Whitesides, E.P. 1960. Morphology and Genesis of some soils containing Fragipans in Northern Michigan. Soil. Sci. Soc. Amer. Proc. 24: 396-407.
- Raats, P.A.C. 1984. Mechanics of cracking soils. P. 23-38. In J. Bouma and P.A.C. Raats (ed.) ISSS Symp. Water and solute movement in heavy clay soils. 27-31 Aug. 1984. Int. Inst. For land reclamation and improvement (ILRI). Wageningen, the Netherlands. (C.F. Hallett, P.D. and T.A. Newson. 2001. A simple fracture mechanics approach for assessing ductile crack growth in soil. Soil Sci. Soc. Am. J. 65: 1083-1088.
- Robertson, L.S. ; A.E. Erickson and D.R. Christenson. 1976. Visual symptoms, causes and remedies of bad soil structure. Research report from Michigan university. Agricultural experiment station east Lansing. P: 1-7. Dept. of Crop. and soil Science.
- Taboada, M.A. 2003. Soil shrinkage characteristics in swelling

Mineralogical Analysis for Cracking Mass of Soils From Middle of Iraq

Raid. Sh . Jarallah*
college of Agriculture / University
of Al-Qadisiyah

S.K.Essa
college of Agriculture / University of
Baghdad

Abstract

Seven soils sites (Afak Vertic-Torrifluent , Al-Diwaniyah Typic-Torrifluent , Al-Taleea Typic-Torrifluent , Babel Vertic-Torrifluent , College of Agriculture Typic-Torrifluent , Al-Wahda Vertic-Torrifluent and Al-Raid project Typic-Torrifluent) were chosen to study some mineralogical properties of hard and friable parts of cracking mass the results showed :

- The x-ray diffractions showed in the clay minerals were arrangement as :

Smectite > Illite > chlorite > kaolinite

In all soils except (Afak and Al-Diwaniyah) soils were an arranged as follows :

Smectitice > Chlorite > Illite > Kaolinite .

- The x-ray diffractions found the chlorite mineral in all soils was swelling chlorite and that leads to increase of soil plasticity and an increased of swelling and shrinkage of soils by drying and wetting processes.
- The ratio of SM / Ch , SM/ IL , SM / R₂O₃ were decreased in the mineral composition in hard parts of cracking mass in all soils because of they differ in the mineral percent in clay fraction (fine and coarse).
- The hardness of hard parts of cracking mass is because of the increasing of Illite mineral in their content .
- The total and crystalline free iron oxides were increased in hard parts of cracking mass in all soils studied.

Keywords : Mineralogical Analysis , Cracking Mass , Clay Cracks , Smectite , Illite , Free Iron Oxides , Middle of Iraq.

The research is part of Ph.D for the 1st author